

بررسی عددی تأثیر پارامترهای مختلف در برداشت از چاههای نفت به روش IMPES

صالح فومن*
مهرزاد شمس

کارشناسی ارشد، دانشکده مهندسی مکانیک، دانشگاه صنعتی خواجه نصیرالدین طوسی، تهران، ایران
دانشیار، دانشکده مهندسی مکانیک، دانشگاه صنعتی خواجه نصیرالدین طوسی، تهران، ایران

چکیده

انرژی فسیلی نظیر نفت، گاز و زغال سنگ عموماً به طور کامل قابل استحصال و بازیابی نبوده و مقادیر عظیمی از این ثروت‌ها به صورت درجا باقی می‌ماند که این امر علاوه بر مشخصات اولیه و زمین‌شناسی آن‌ها که از دسترس ما خارج می‌باشند، به صورت عمده به نحوه عملکرد در زمان برداشت نظیر سرعت بهره برداری و شیوه‌ی آن برمی‌گردد. در این پژوهش با استفاده از شکل دقیق معادلات به مدل‌سازی عددی جریان دوفازی آب و نفت در یک مخزن هیدروکربوری پرداخته می‌شود. جریان آب از طریق چاه تزریقی واقع در مرکز مخزن تزریق می‌شود و از طریق چاههای تولید که در گوشش‌های مخزن قرار دارد برداشت می‌شود. توزیع فشار و اشباع آب در دورن مخزن طی مدت زمان معینی شبیه‌سازی می‌شود و میزان تولید چاههای به همراه تأثیر پارامترهای تراوایی و تخلخل و مانع نفتی درون مخزن بررسی می‌شود. روش حل صریح یا همان روش ایمپز هست. نتایج کلی حاصل از حل عددی با استفاده از نرم‌افزار تجاری نفتی اعتبارسنجی می‌شوند که صحت کارهای انجام شده را تأیید می‌کند. نتایج نشان می‌دهند که تا حد امکان با تشخیص دقیق باید مکان مناسبی برای چاه تزریقی در نظر گرفت که در فاصله دورتری از مانع نفتی حفر شود تا به لحاظ مصرف انرژی، مقرر باشد.

واژه‌های کلیدی: مخزن هیدروکربوری، چاه تزریقی، تراوایی، تخلخل، مانع نفتی.

Numerical Investigation of Different Parameters on Oil Reservoir Recovery

S. Fouman

Faculty of Mechanical Engineering, Khajeh Nasir Toosi University of Technology, Tehran, Iran

M. Shams

Faculty of Mechanical Engineering, Khajeh Nasir Toosi University of Technology, Tehran, Iran

Abstract

Fossil energy such as oil, gas and coal, generally not fully recoverable and retrieve. Large amounts of wealth remains in situ, which in addition to the basic features and their geological which are out of our reach, in bulk at harvest time performance such as speed of operation and the way it goes. In this study, a numerical scheme for simulation of two phase water and oil in an oil reservoir is developed. Constant flow rate of water injected through injection well located in the center of the reservoir and oil produced through production wells in the corners of the reservoir. The water and oil saturation and pressure distribution within the reservoir simulated during a certain time period and the general results are examined and compared with CMG software outlet which a good agreement is achieved. The effect of a barrier in the reservoir is also examined. The results illustrate that as much as possible with an accurate diagnosis must be considered a suitable place to injection wells that are drilled so far of the oil barrier.

Keywords: reservoir, injection well, permeability, porosity, oil barrier.

به برنامه اصلی برداشت و نحوه آن را چه در مراحل اولیه و همچنین در مراحل میانی برداشت را تعیین و تحت تأثیر قرار می‌دهد. عدم توجه به آنها باعث کاهش شدید نرخ بهره‌وری و از دست رفتن انرژی اولیه مخزن و در نهایت در جاماندن مقدار زیادی نفت به صورت غیر قابل دسترس در این شرایط می‌شود. در ادامه باید علاوه بر صرف زمان، هزینه‌های بسیار زیادی را متحمل شد تا بتوان مخزن را به مرحله‌ی تولید باز گرداند [۲].

مدل‌های کامپیوتری مخازن نفتی بدلیل نشان دادن شرایط واقعی تری از مدل زمین‌شناسی و تاثیرات جریان سیال روز به روز پیچیده‌تر می‌شوند. مبانی مربوط به نظریه جریان پتانسیل به اواسط قرن نوزدهم میلادی برمی‌گردد. شبیه‌سازی با استفاده از روش IMPES به ویژه در حل سیستم‌هایی که از لحاظ زمین‌شناسی ناهمگن پیچیده و بزرگ هستند، موثر می‌باشد.

فای و همکارش (۱۹۵۱) [۳] و تیل (۲۰۰۱) [۴] به بررسی عملکرد روش خطوط جریان^۱ و لوله جریان^۲ برای مدل کردن

۱- مقدمه

امروزه گسترش نیاز روزافزون به نفت در جهان، کشورها را بر آن داشته که از ذخایر نفتی خود حداکثر استفاده را بنمایند. لذا سعی می‌شود به واسطه تولید در طول عمر یک مخزن حداکثر میزان نفت از آن استحصال شود. با توجه به روند رو به رشد جمعیت و نیاز روز افزون به انرژی در عرصه‌های مختلف زندگی به ویژه در صنایع اصلی و در امر تولید ضروری به نظر می‌رسد که از این منابع خدادادی و غیر قابل تجدید به صورت صحیح و بهینه استفاده گردد. استفاده از نادرست و بی‌برنامه از این منابع انرژی نه تنها باعث بروز مشکلاتی در زمان حال می‌گردد بلکه ادامه‌ی حیات را به خصوص برای نسل‌های آینده با بحران جدی رو به رو خواهد ساخت [۱]. هر مخزن با توجه به بافت زمین‌شناسی آن علاوه بر مشخصات کلی نظیر میزان کل نفت درجا، لایه‌های دارای نفت، عمق لایه نفتی و ... دارای پارامترهای دیگری که در مرحله تولید بسیار قابل توجه است نیز می‌باشد. از جمله می‌توان به درجه سنجگینی نفت، NLH و فشار اولیه مخزن، تخلخل، تعداد چاه‌های برداشتی، فواصل آنها با یکدیگر و نحوه چیده شدن آنها، وجود یا عدم وجود شکاف در لایه‌های مختلف و ... اشاره کرد. هر مخزن با توجه

¹streamline

²streamtube

این بررسی به روش IMPES و از شکل دقیق‌تر معادلات استفاده می‌شود. نتایج حاصل از حل عددی با نرمافزار CMG اعتبارسنجی می‌شوند. تأثیر پارامترهایی نظیر تراوایی و تخلخل مخزن و همچنین موانع زیرزمینی (تله نفتی) در میدان جریان سیال و توزیع برداشت نفت با روش عددی بررسی می‌گردد. در مورد نرمافزار CMG باید گفت که یکی از بهترین شبیه‌سازهای مخازن هیدروکربوری است. در این شبیه‌ساز معادلات بر اساس اصل بقای جرم برای هر سلول به روش تمام ضمنی با فرض ثابت بودن دما و ترکیب سیال مخزن برای سه فاز نفت و گاز و آب حل می‌شوند و قادر به شبیه‌سازی حرکت سیال به صورت مدل نفت سیاه می‌باشد. نرمافزار مذکور قادر به نمایش جزئیات نتایج از جمله بررسی پارامتر موانع زیرزمینی، بررسی توزیع فشار مخزن در فاصله چاه تزریقی و چاههای تولیدی و ... نمی‌باشد به همین خاطر با حل عددی و به روش IMPES به تشریح مساله پرداخته می‌شود.

۲- معادلات حاکم

تراوایی نسبی فازهای آب و نفت را بر اساس روابط زیر محاسبه می‌شود [۱۴]:

$$K_{rw} = \left(\frac{S_w - S_{wc}}{1 - S_{wc} - S_{or}} \right)^2 \quad (1)$$

$$K_{ro} = \left(\frac{1 - S_w - S_{or}}{1 - S_{wc} - S_{or}} \right)^2 \quad (2)$$

در معادلات بالا مقادیر اشباع باقیماند نفت و اشباع بحرانی آب در مخزن به ترتیب 25% و $S_{or} = 0.5$ است. بدلیل این که از اثرات موئینگی صرف‌نظر می‌کنیم، داریم:

$$P_{cow} = 0 \rightarrow P_w = P_o = P \quad (3)$$

معادله فشار برای جریان تراکم‌پذیر در روش IMPES با صرف‌نظر از اثرات موئینگی به صورت زیر ارائه می‌شود [۱۴]:

$$\begin{aligned} & \frac{S_w}{\rho_w} \frac{\partial(\emptyset \rho_w)}{\partial t} + \frac{S_o}{\rho_o} \frac{\partial(\emptyset \rho_o)}{\partial t} \\ &= \frac{1}{\rho_w} \nabla \cdot \left(\frac{\rho_w K_{rw}}{\mu_w} K(\nabla P - \rho_w g) \right) \quad (4) \\ &+ \frac{1}{\rho_o} \nabla \cdot \left(\frac{\rho_o K_{ro}}{\mu_o} K(\nabla P - \rho_o g) \right) + \frac{q_w}{\rho_w} \\ &+ \frac{q_o}{\rho_o} \end{aligned}$$

$$\begin{aligned} & \text{در نهایت معادله فشار برای جریان دوفازی آب و نفت عبارتند از:} \\ & \emptyset C_t \frac{\partial p}{\partial t} \\ &= \frac{1}{\rho_w} \nabla \cdot \left(\frac{\rho_w K_{rw}}{\mu_w} K(\nabla P - \rho_w g) \right) \quad (5) \\ &+ \frac{1}{\rho_o} \nabla \cdot \left(\frac{\rho_o K_{ro}}{\mu_o} K(\nabla P - \rho_o g) \right) + \frac{q_w}{\rho_w} \\ &+ \frac{q_o}{\rho_o} \end{aligned}$$

که در آن $C_t = (S_w C_w + S_o C_o + C_R)$ است.

در پژوهش حاضر با توجه به اینکه جمع اشباع آب و نفت برابر واحد می‌باشد برای نمایش نتایج مربوط به اشباع سیال، فقط به ذکر نتایج اشباع آب بسته می‌کنیم که معادله اشباع آب نیز به صورت زیر بیان می‌شود [۱۴]:

جابجایی‌ها در محیط همگن پرداختند. آنها دریافتند که روش خطوط جریان همچنین در نشان دادن مسیر جریان سیال در مخزن، راندمان تزریق، حجم فضای خالی و تعیین ضریب تخصیص چاه^۱ به منظور تعیین حجم سیال انتقال یافته بین چاههای تزریقی و تولیدی، نسبت به روش تفاضل محدود برتری دارد. در سال ۲۰۰۴ میلادی لی و همکارش [۵] طی تحقیقاتی به مقایسه نتایج شبیه‌سازی مخازن نفتی با شبکه ساختاری نامنظم^۲ مربوط به سه روش تمام ضمنی،^۳ روش تکراری IMPES و روش خطوط جریان پرداختند. آنها نتیجه گرفتند که روش‌های حل خطوط جریان و IMPES سرعت بالایی نسبت به روش تمام ضمنی دارند. در سال ۲۰۰۵ میلادی تحقیقاتی که صورت گرفت این بود که کوسک و همکارش [۶] به مطالعه از دیدار برداشت از مخازن نفتی با تزریق گاز دی اکسید کربن می‌تبینی بر روش خطوط جریان پرداختند و یک مدل نیمه ضمنی جریان دوفازی (نفت – گاز) هم به سمت چاه، با اصلاح مدل نفت سیاه IMPES توسط ساویولی و همکارش [۷] توسعه داده شد. ماترینگ و همکاران [۸] روش جدید خطوط جریان را به شبکه‌های ساختاری نامنظم با المان‌های چهارگوش با مثلثی با ضرایب تانسوری ناهمگن بسط دادند. آنها دریافتند که با هزینه محاسباتی یکسان، رده‌گیری مرتبه بالا، بسیار دقیق‌تر و با ثبات‌تر (به خاطر استقلال از شبکه) نسبت به روش مرتبه پایین هست. در سال ۲۰۰۸ میلادی یک مدل سه بعدی پیشگویی پتانسیل برای بهبود از دیدار برداشت نفت می‌تبینی بر روش خطوط جریان توسط جیان و همکاران [۹] مطرح شد. آنها توزیع پتانسیل جریان در محیط متخلخل تحت شرایط مرزی پیچیده را با روش المان مرزی حل کردند. کو و همکارش [۱۰] حل عددی موثری برای جریان مخلوط نشدنی دوفازی در یک محیط متخلخل با فشارهای موینگی مختلف را مورد مطالعه قرار دادند. آنها دریافتند که در محیط متخلخل با ناهمگنی بالا، اشباع به علت فشارهای موینگی متفاوت، ناپیوسته است. در سال ۲۰۱۳ میلادی وان-جینگ و همکاران [۱۱] عملکرد روش خطوط جریان را در تشخیص نواحی روان و ساکن یک مخزن با تراوایی کم با استفاده از الگوی چاه پنج نقطه‌ای تشریح کردند.

در این راستا در سال ۲۰۱۴ سیاوشی و همکاران [۱۲] شبیه‌سازی می‌تبینی بر روش خطوط جریان را به حالات غیرهمدامای جریان دوفازی با تزریق آب گرم به مخزن سه بعدی حاوی نفت سنگین بسط دادند. آنها نتیجه گرفتند که روش مذکور هزینه کمتر و عملکرد بهتر نسبت به روش شبکه‌ای دارد. لیندن و همکارانش [۱۳] هم کیفیت طیف را با تقلیل مقادیر ویژه اضافی بهبود بخشیدند که در این مطالعه عمل تقلیل برای سیستم‌های خطی شبیه‌سازی مخازن به کار گرفته شد.

در پژوهش حاضر مخزن هیدروکربوری به صورت دو بعدی و به شکل مربع فرض شده است که سیال آب و نفت در آن جریان دارد و چاه تزریق در وسط مخزن وجود دارد که سیال آب را با دبی ثابت به مخزن تزریق می‌کند و از چاههای تولید آب و نفت خارج می‌شود. در

¹well allocation factor

²unstructured grids

³fully implicit

⁴High-order tracing

$(T_{yo})_{i,j+\frac{1}{2}}P_{i,j+1} - (T_{yo})_{i,j-\frac{1}{2}}P_{i,j-1} + (Q_o)_{i,j}$

به خاطر ثابت بودن فشار حاکم بر مخزن طی دوره‌های زمانی مختلف برداشت و شرایط پایا:

$$(V_b \emptyset C_t \frac{P^{n+1}-P^n}{\Delta t})_{i,j} = 0$$

معادله اشباع بعد از عملیات لازم، به صورت زیر گسته‌سازی شود:

$$\begin{aligned} (S_w)^{n+1} &= (S_w)^n + \frac{\Delta t}{V(\emptyset)_{i,j}} \left[(T_{xw})_{i+\frac{1}{2},j} P_{i+1,j} + \right. \\ &\quad \left. (T_{xw})_{i-\frac{1}{2},j} P_{i-1,j} + (T_{yw})_{i,j+\frac{1}{2}} P_{i,j+1} + (T_{yw})_{i,j-\frac{1}{2}} P_{i,j-1} + \right. \\ &\quad \left. (Q_w)_{i,j} \right] \end{aligned} \quad (11)$$

در روابط فوق ضرایب جابجایی مانند معادله (12) تعریف می‌شوند:

$$\begin{aligned} (T_{xw})_{i+\frac{1}{2},j} &= \left(\frac{A_x K_{rw} K_x}{\mu_x \Delta x} \right)_{i+1/2,j} \\ &= \frac{A_x}{\mu_x \Delta x} \left[\frac{K_i K_{i\pm\frac{1}{2}}}{K_i + K_{i\pm\frac{1}{2}}} \right] \cdot (K_{rw})_{i,j} \end{aligned} \quad (12)$$

۴- اعتبارسنجی نتایج

مشخصات سنگ و سیال مخزن مورد مطالعه در جدول ۱ آورده شده است.

جدول ۱- داده‌های مربوط به سنگ و سیال مخزن

	ابعاد مخزن (m)	۷۲۰×۷۲۰×۶
فشار اولیه مخزن (kPa)		۸۷۵۰
فشار ته چاهی (kPa)		۶۷۵۰
فشار مرجع (kPa)		۱۰۰
شعاع چاههای تزریق و برداشت (m)		۰/۰۸۵
دبی تزریقی آب ($\frac{m^3}{day}$)		۲۴۰
چگالی اولیه آب (kg/m^3)		۹۹۸
چگالی اولیه نفت (kg/m^3)		۸۳۳
تخلخل سنگ		۰/۲۵
ضریب تراکم پذیری سیالات (kPa^{-1})		۱۵-۷
ضریب تراکم پذیری سنگ (kPa^{-1})		۱/۴۵۶-۷
لزجت دینامیکی آب ($kPa.day$)		۱۵-۶/(۲۴×۳۶۰۰)
لزجت دینامیکی نفت ($kPa.day$)		۲۵-۶/(۲۴×۳۶۰۰)

هنگام استخراج نفت، فشار چاه به سرعت پایین می‌آید و در مخازن با ابعاد کوچکتر این افت فشار سریعتر صورت می‌گیرد که می‌توان از این افت فشار، اطلاعاتی در مورد اندازه مخزن و ارتباط داخلی آن در طول بهره‌برداری بدست آورد. معمولاً سعی بر این است که فشار آب را در مخازن بزرگ، ثابت نگه دارند. بهترین وضعیت ممکن برای بهبود عملیات برداشت، حالتی است که سیال در مخزن تحت فشار باشد که به آن اصطلاحاً سفره تحت فشار می‌گویند [۱۵].

$$\frac{\partial(\emptyset \rho_w S_w)}{\partial t} = \nabla \cdot \left(\frac{\rho_w K_{rw}}{\mu_w} K (\nabla P - \rho_w g) \right) + q_w \quad (6)$$

برای مدل‌سازی چاهها نیز از رابطه زیر استفاده می‌کنیم.

$$Q_\alpha = q_\alpha V_\alpha = WI \frac{K_{rw}}{\mu_\alpha} [P_{wf} - P - \gamma(z - z_{bh})] \quad (7)$$

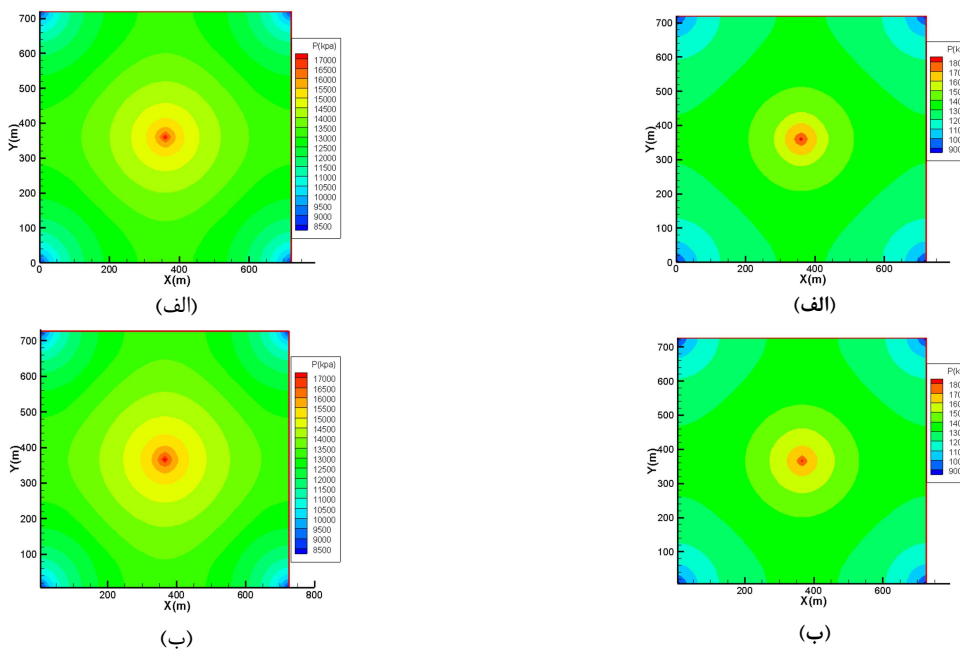
$$WI = \frac{2\pi \Delta z \sqrt{K_x K_y}}{\ln(r_e/r_w) + S} = \frac{2\pi \Delta z k}{\ln(r_e/r_w)} \quad (8)$$

$$\begin{aligned} \text{معادله کمکی هم به صورت زیر استفاده می‌شوند} \\ S_w + S_0 = 1 \rightarrow S_0 = 1 - S_w \end{aligned} \quad (9)$$

۳- گسته‌سازی معادلات و حل مسائل

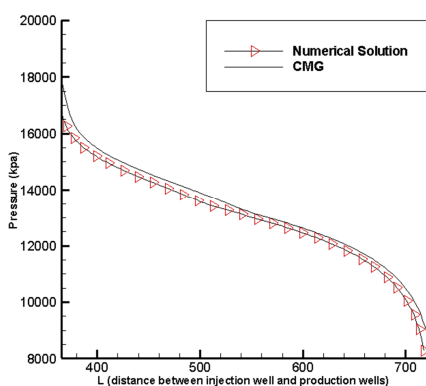
شبیه‌سازی جریان دوفازی آب - نفت به روش IMPES بوسیله معادلات مذکور و به ترتیب زیر انجام می‌پذیرد؛ ابتدا معادله (۵) به صورت ضمنی و با فرض ثابت بودن اشباع آب حل می‌شود، سپس معادله (۶) به صورت صریح و با استفاده از مقادیر فشار بدست آمده از مرحله قبل حل شده و مقادیر اشباع بدست می‌آید. مقادیر اشباع جدید بدست آمده برای پیدا کردن فشار در گام زمانی بعدی استفاده می‌شود. برای حل مساله از شبکه CCG استفاده می‌کنیم و برای شرایط مرزی از شرط نیومن استفاده می‌کنیم و فرض می‌کنیم که هیچ جریانی از مرزها عبور نمی‌کند در این صورت دبی جریان یا اینکه ضریب جابجایی کل بر روی مرزها را برابر صفر قرار داد. برای بدست آوردن دبی تولیدی از فشار سلول‌های چاه استفاده می‌کنیم. گسته‌سازی معادلات هم از روش تفاضل محدود استفاده می‌کنیم [۱۴]. در وسط مخزن هیدروکربوری یک چاه تزریق با دبی حجمی تزریقی ثابت ($\frac{m^3}{day}$) ۲۴۰ و در چهار گوشه آن چاه تولید با فشار ته- چاهی ثابت ($6/75(MPa)$) قرار دارند. اشباع اولیه آب درون مخزن ۰/۲ می‌باشد. می‌خواهیم جریان دوفازی آب - نفت درون مخزن را در طی مدت زمان ۷۰۰ روز شبیه‌سازی کنیم و توزیع فشار و اشباع را طی شبیه‌سازی درون مخزن بدست آوریم. برای حل مسأله یک شبکه حل ایجاد می‌کنیم و عرض، طول و ارتفاع مخزن را به ترتیب به $I = 61, K = 1, J = 61$ بخش تقسیم می‌کنیم و چاه تزریق را در وسط مخزن قرار داده و چاههای تولید را در وسط چهار سلول قرار گرفته شده در گوشه‌های مخزن قرار می‌دهیم. برای مدل- سازی چاهها فرض می‌شود که شاعع تمامی چاهها برابر r_w است. $P_0 = 100(kPa)$ است. آب و نفت در فشار مرجع ($0/0.85(m)$) به ترتیب دارای چگالی است ($\frac{kg}{m^3}$) ۹۹۸ و ۸۳۳ بوده که دارای ضریب تراکم پذیری ثابت می‌باشد. ضریب تخلخل سنگ در فشار مرجع برابر ۰/۲۵ است. تراوایی در راستای y و x یکسان و برابر md در نظر گرفته شده‌اند بین فازها هیچ نوع انتقال جرمی صورت نمی‌گیرد [۱۴]. شکل گسته‌سازی شده معادله فشار به صورت زیر می‌باشد:

$$\begin{aligned} (V_b \emptyset C_t \frac{P^{n+1}-P^n}{\Delta t})_{i,j} = & \left[(T_{xw})_{i+\frac{1}{2},j} P_{i+1,j} - \right. \\ & (T_{xw})_{i-\frac{1}{2},j} P_{i-1,j} + (T_{yw})_{i,j+\frac{1}{2}} P_{i,j+1} - \\ & (T_{yw})_{i,j-\frac{1}{2}} P_{i,j-1} + (Q_w)_{i,j} \left. \right] + \\ & \left[(T_{xo})_{i+\frac{1}{2},j} P_{i+1,j} - (T_{xo})_{i-\frac{1}{2},j} P_{i-1,j} + \right. \end{aligned} \quad (10)$$



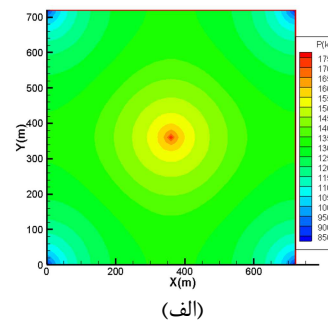
شکل ۳- کانتور فشار بعد از گذشت ۷۰۰ روز از برداشت
 (الف) حل عددی (ب) شبیه سازی با نرم افزار CMG
 [۱۶]

در کانتورهای اشاره شده کمترین مقدار فشار مربوط به چاه های تولیدی، همواره ثابت و برابر $7967/59$ کیلوپاسکال در کد فرتون و $8011/74$ کیلوپاسکال در نرم افزار CMG است و این مقدار از مقدار مربوط به فشار ته چاهی (6750 kPa) بیشتر می باشد که این اختلاف فشار در واقع شرط لازم برای تولید نفت از چاه های برداشت را ارضامی کند.

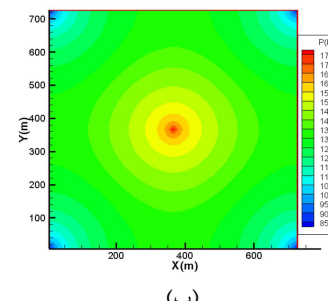


شکل ۴- نمودار فشار مخزن در فاصله میان چاه تزریقی و چاه های تولیدی پس از گذشت ۴۰۰ روز از برداشت

شکل ۱- کانتور فشار بعد از گذشت ۱۰۰ روز از برداشت
 (الف) حل عددی (ب) شبیه سازی با نرم افزار CMG



شکل ۲- کانتور فشار بعد از گذشت ۴۰۰ روز از برداشت
 (الف) حل عددی (ب) شبیه سازی با نرم افزار CMG

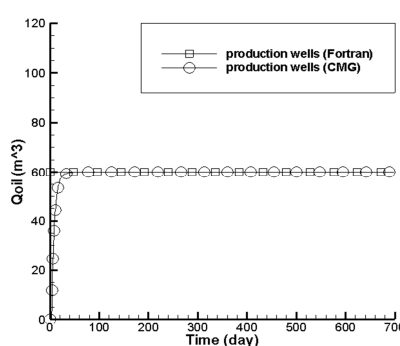


جدول ۲- برآورده خطای شبیه‌سازی فشار در چاه‌های برداشت و چاه تزریق بین دو نرم‌افزار

متوسط خطای شبیه‌سازی بین دو نرم‌افزار	۷۰۰ روز		۴۰۰ روز		۱۰۰ روز		مدت زمان سپری شده از برداشت نرم‌افزار شبیه‌ساز
	CMG	Numerical Solution (Fortran)	CMG	Numerical Solution (Fortran)	CMG	Numerical Solution (Fortran)	
% ۰/۰۵۷	۸۰۱۱/۷۴	۷۹۶۷/۵۹	۸۰۱۱/۹۲	۷۹۶۷/۵۹	۸۰۱۱/۸۷	۷۹۶۷/۵۹	حداقل فشار (فشار چاه‌های تولیدی) (kPa)
% ۱/۱	۱۷۵۹۷/۷	۱۷۳۵۹	۱۷۷۹۳/۵	۱۷۶۰۱/۸	۱۸۳۷۹/۴	۱۸۵۸۰/۲	حداکثر فشار (فشار چاه تزریقی) (kPa)

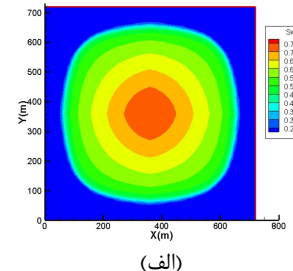
نفت (S_{or}) در لابه‌لای محیط متخلخل سنگ و سیال را برابر $0/25$ گرفتیم و کمترین مقدار هم برابر $0/2$ است که همان مقدار اشباع بحرانی آب (S_{wc}) است.

در زمانی که حفر چاه‌های جدید به پایان رسید و برداشت با ظرفیت ثابت شروع شد، مرحله دوم از عمر مخزن ظاهر می‌شود. مدت زمان این دوره را پارامترهایی نظیر ارتفاع ستون هیدروکربنی، خصوصیت زمین و ساز و کارهای اجرایی و تعمیرات دوره‌ای تاسیسات کنترل می‌کنند. میزان درازای زمان این دوره بستگی به استراتژی توپیون شده در استخراج نفت از مخزن دارد. برداشت بی‌رویه نفت در این مرحله می‌تواند منجر به مخلوط شدن گاز و آب با نفت استخراجی شود که تبعات اقتصادی سنگین وارد بر تجهیزات و تعطیلی چندین ماهه برداشت از میدان را به دنبال دارد [۱۵]. لازم به ذکر است که چون محیط متخلخل مخزن ایزوتropیک یعنی ثابت‌های تراوایی در هر سه محور مختصاتی دکارتی ثابت و مساوی همدیگر در نظر گرفته شده است و همچنین با توجه به تقارن موقعیت چاه‌های تولیدی، در نمودار مربوط به شکل ۶ مشاهده می‌شود که مقادیر تولیدی نفت در چاه‌های مختلف 60 مترمکعب یعنی $0/25$ درصد حجم کلی آب تزریقی به مخزن می‌باشد و بدین ترتیب مخزن طی مدت زمان شبیه‌سازی فقط تولید نفت داشته است و در طی این مدت زمان، فشار تقریباً ثابتی برای مخزن حاکم است (شکل ۷).

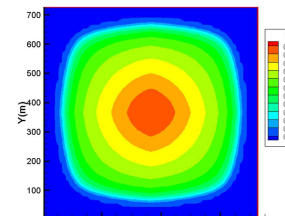


شکل ۶- دبی نفت تولیدی چاه‌های برداشت

با پیشروی از طرف چاه تزریقی به سمت چاه‌های تولیدی مخزن دچار افت شدید فشار می‌شود. در شکل ۴ بیشترین مقدار فشار مربوط به چاه تزریقی است. در جدول ۲ مقادیر فشار به واحد کیلوپاسکال می‌باشد. معمولاً به دلیل استخراج مقداری از سیالات مخزن (آب، نفت و گاز)، درجه اشباع باقی‌مانده این سیالات در مخزن تغییر می‌کند. این وضعیت باعث بر هم خوردن وضعیت تعادلی و فشار مؤینگی در مخزن می‌شود. به دنبال این اثرات و نیروهای محرکه طبیعی تولید، درصد نفت باقی‌مانده در جداره مخزن زیاد می‌شود. به دلیل آنکه درجه ناهمگنی سنگ مخزن عملاً بیشتر از نمونه‌های آزمایشگاهی است، میزان تلفات نفت در هنگام برداشت از مخزن همواره بیشتر از پیش‌بینی‌ها می‌باشد [۱۵]. در ادامه برای اعتبارسنجی نتایج مربوط به اشباع، به عنوان نمونه نتیجه مربوط به اشباع روز 700 ام برداشت را اینجا آورده‌ایم و از آوردن نتایج مربوط به زمان‌های 100 و 400 پرهیز کردہ‌ایم.



(الف)



(ب)

شکل ۵- کانتور اشباع آب بعد از گذشت 700 روز از برداشت (الف) حل عددی (ب) شبیه‌سازی با نرم‌افزاری امجی [۱۶]

با توجه به کانتورهای مربوط به اشباع آب، شاهد پیشروی سیال آب به طرف اطراف مخزن و سمت چاه‌های تولیدی هستیم طبق رابطه (۹) به همین میزان هم از تراکم نفت در سمت مرکزی مخزن کاسته شده و در اطراف آن و سمت چاه‌های تولیدی افزوده می‌گردد. در نتایج مربوط به کد فرترن در همه کانتورهای بالا بیشترین مقدار اشباع آب $S_w = 0/75$ است به خاطر اینکه مقدار اشباع باقی‌ماند

جدول ۳- برآورد خطای شبیه‌سازی اشباع آب در چاه‌های برداشت و چاه تزریق بین دو نرم‌افزار

خطای شبیه‌سازی بین دو نرم‌افزار	روز ۷۰۰		روز ۴۰۰		روز ۱۰۰		مدت زمان سپری شده از برداشت
	CMG	Numerical Solution (Fortran)	CMG	Numerical Solution (Fortran)	CMG	Numerical Solution (Fortran)	
% ۰/۲	۰/۱۹۹۵	۰/۲	۰/۱۹۹۵	۰/۲	۰/۱۹۹۵	۰/۲	حداقل اشباع آب (S_{wc})
% ۰/۴	۰/۷۴۷	۰/۷۵	۰/۷۴۷	۰/۷۵	۰/۷۴۷	۰/۷۵	حداکثر اشباع آب ($1 - S_{or}$)

مثلما مقدار تولیدی نفت چاه‌های تولیدی در روز ۴۰۰ ام به قرار زیر است:

$$Q_1 = ۶۰/۰\ldots ۴۰۲۳۸۴۱۴$$

$$Q_2 = ۶۰/۰\ldots ۵۹۵۹۸۰۵۴$$

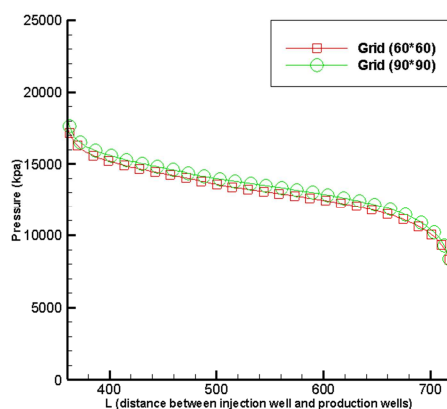
$$Q_3 = ۵۹/۹۹۹۹۹۸۴۵۷۴۴۳۶$$

$$Q_4 = ۵۹/۹۹۹۹۹۹۸۵۴۱۴۹۴$$

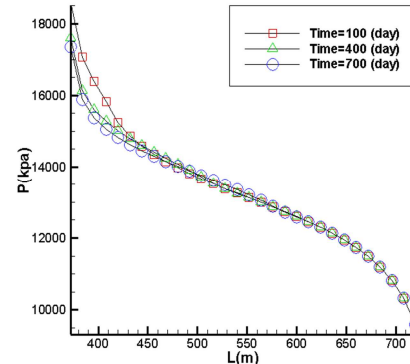
$$\sum Q = ۲۴۰/۰\ldots ۸$$

$$\sum Q_{inj} = ۲۴۰ \rightarrow Q_{error} = \lambda e^{-6} (m^3/day)$$

با ریزتر کردن شبکه مربوط به مخزن نفتی از تقسیمات ۶۰×۶۰ به تعداد ۹۰×۹۰، مقایسه نتایج آن به صورت زیر است:



شکل ۹- توزیع فشار مخزن در فاصله چاه تزریقی و چاه‌های تولیدی برای دو نوع شبکه‌بندی

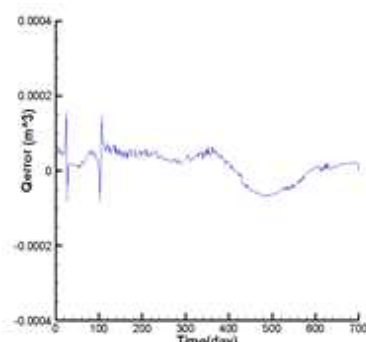


شکل ۷- توزیع فشار مخزن در فاصله چاه تزریقی و چاه‌های تولیدی

۵- بررسی خطای دقت حل و استقلال از شبکه

در فرایند مربوط به تزریق آب و تولید نفت یک پارامتری به صورت Q_{error} تعریف می‌کنیم که عبارت است از مجموع دبی‌های ورودی و خروجی چاهها.

$$Q_{error} = Q_{inj} + Q_{prod} \quad (12)$$

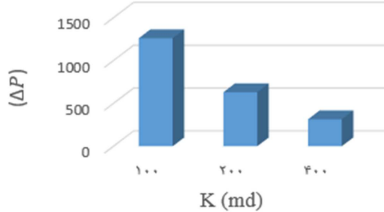


شکل ۸- نمایش میزان خطای بقای جرم و حجم سیالات در مخزن

جدول ۴- مقادیر حداقل و حداکثر فشار به ازای تراویبی‌های مختلف مخزن در روز ۴۰۰ ام برداشت

k=۴۰۰ md	k=۲۰۰ md	k=۱۰۰ md	تراویبی
۷۰۶۵/۵۲ kPa	۷۳۸۱/۰۲ kPa	۸۰۱۱/۹۲ kPa	حداقل فشار (فشار چاه‌های برداشت)
۹۵۱۱/۹۸ kPa	۱۲۲۷۷/۳ kPa	۱۷۷۹۳/۵ kPa	حداکثر فشار (فشار چاه تزریق)

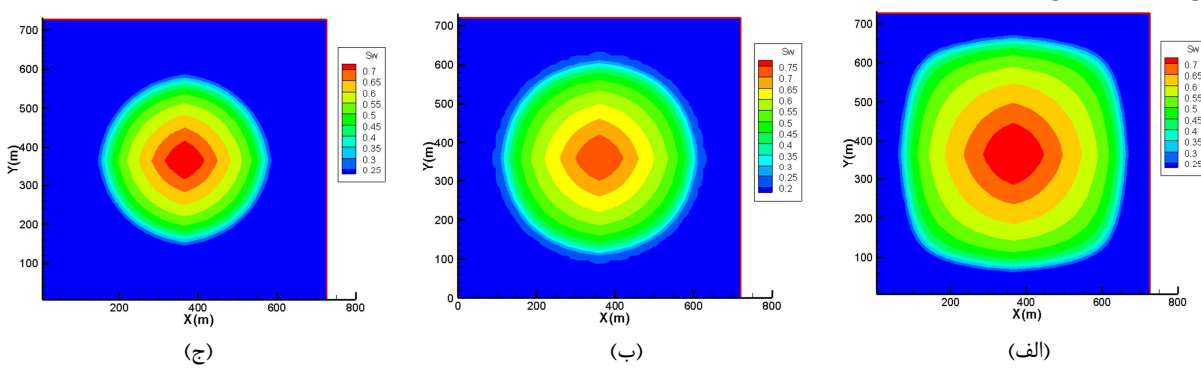
زمان روز ۷۰۰۰ م برای مخزنی با ضریب تخلخل $\phi = 0.15$ ، سیال آب به چاههای برداشت رسیده و در این حال برداشت هر دو سیال آب و نفت را توأم خواهیم داشت. برای مخزن مذکور همچنین نمودار برداشت نفت و برداشت کل سیال را جدایگانه در ادامه آورده‌ایم، برای عمل اختصار به عنوان نمونه به توزیع اشباع آب مربوط به روز ۴۰۰ ام ۷۰۰۰ م برداشت، اشاره می‌شود.



شکل ۱۰- نمودار ارتباط بین تراوایی (k) و مقادیر اختلاف فشار چاههای برداشت و فشار ته چاهی (Δp)

۷- بررسی اثرات مانع زیرزمینی (تله نفتی) در داخل مخازن نفتی

موانع نفتی به مجموع سنگ مخزن و پوش سنگ آن گویند که باعث به تله افتادن نفت در سنگ مخزن می‌شود. شکل این مجموعه می‌تواند طلاق‌دیس، ناویدیس یا شکل حاصل از تغییر ماهیت سنگ و غیره باشد. معمولاً در مسیر حرکت نفت از سنگ منشأ، جریان نفت به سنگ‌پوش و موائعی که نفت را در خود جای می‌دهد برخورد می‌کند. این مسیر هر اندازه که طولانی‌تر شود و نفت در مسیر حرکت خود بیشتر به سطح زمین نزدیک شود، باعث می‌شود که مواد سنگین نیز در طول مسیر جدا شده و نفت سبکتری به سطوح بالاتر نفوذ کند. اگرچه در هر صورت، همواره میزانی از مواد سنگین در درون نفت باقی خواهد ماند. البته باید توجه کرد بالاتر بودن سطح مخزن ضرورتاً نشان‌دهنده سبکتر بودن نفت درون آن نیست، بلکه هر اندازه که سنگ منشأ در لایه‌های پایین‌تر زمین باشد به دلیل بلوغ بیشتر نفت، نفت درون آن نیز سبکتر خواهد بود. بنابراین تنها اگر فاصله‌ی میان سنگ منشأ تا سنگ مخزن طی کند، این امکان وجود دارد که نفت درون سنگ مخزن در لایه‌های نزدیک به سطح زمین سبک باشد.

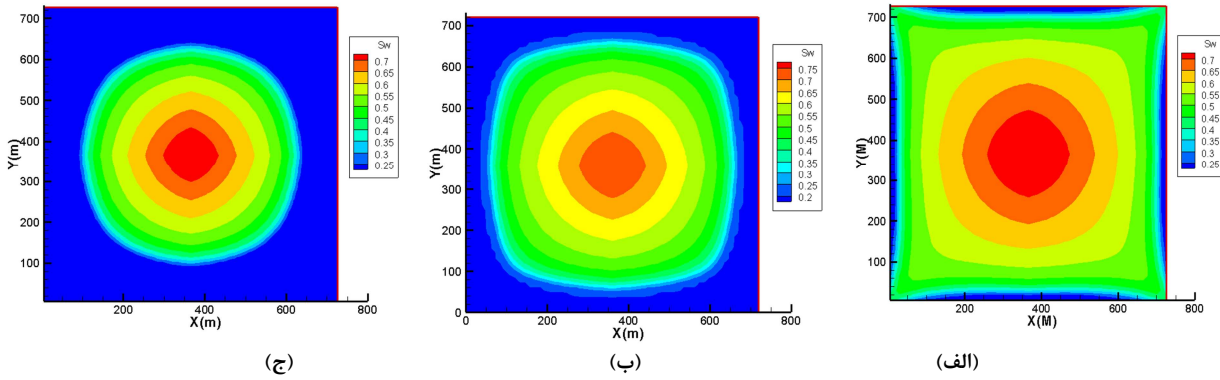


شکل ۱۱- کانتورهای اشباع آب بعد از گذشت ۴۰۰ روز از برداشت، با ضرایب تخلخل (الف)، (ب) و (ج) $\phi = 0.25$ ، $\phi = 0.35$ و $\phi = 0.7$

۶- بررسی تأثیر پارامترهای تراوایی و ضریب تخلخل روی فشار مخزن و اشباع سیالات مخزن

در مسئله حاضر به ازای مقادیر تراوایی ۱۰۰، ۲۰۰ و ۴۰۰ نتایج را بدست آورده‌یم که ملاحظه شد افزایش مقادیر تراوایی به مراتب افت فشار محسوس سیالات زیرزمینی را سبب می‌شود که برای نقاط تزریق و برداشت مقادیر فشار مطابق جدول ۴ می‌باشد. در صنعت نفت و گاز قبل از مشخص کردن محل مخزن و حفاری چاهها، آگاهی داشتن از میزان تراوایی مخزن نقش بهسازی در عملیات برداشت نفت دارد. یک مهندس نفت می‌داند که در زیرزمین یک مخزن هیدروکربوری هست اما نمی‌داند که این مخزن (محیط متخلف) دارای چه نوع سیالی است؛ gas, oil ... دوست دارد که این سیال را تولید کند اما نمی‌داند که مکانیزم برای تولید آن چیست نمی‌داند که معادلات حاکم برای تغییرات فشار چگونه تغییر می‌کند و یا این که بخواهد یک سری پارامترها مثل فشار، اشباع ... را پیش‌بینی کند. که همه این موارد باید مورد تجزیه و تحلیل قرار گیرند. همانطور که ذکر شد، میزان اختلاف فشار چاه برداشت و فشار ته چاهی در واقع شرط لازم برداشت نفت از مخزن است که این مقادیر فشار چاه برداشت باید توسط پمپ‌ها و ناسیسات تأمین گردد. که با توجه به خصوصیات سنگ و سیال مخزن، هرچه میزان تراوایی مخزن بالا باشد تأمین این فشار راحت‌تر بوده و به توان مصرفی کمتری نیاز خواهد بود. در مسئله حاضر با توجه به این که فشار ته چاهی ثابت و برابر ۶۷۵۰ کیلوپاسکال هست مقادیر اختلاف فشار چاههای برداشت و فشار ته چاهی را در قالب نمودار شکل ۱۰ آورده‌ایم که با توجه به نمودار به ازای میزان تراوایی ۱۰۰، به توان مصرفی بیشتری برای برداشت نفت نیاز خواهیم داشت.

طی این پژوهش مشاهده گردید که مقادیر اشباع (مقادیر موجود در نقاط مختلف کانتور مربوطه) به ازای سه مقادیر مذکور تراوایی هیچ فرقی نکرد بنابراین می‌توان نتیجه گرفت تراوایی با میزان اشباع سیالات زیرزمینی رابطه‌ای ندارد و کانتورهای اشباع آب به همان شکلی حاصل شد که پیشتر به آن‌ها اشاره شد (شکل ۵). همچنین برای بررسی اثرات ضریب تخلخل به ازای ضرایب تخلخل ۰/۱۵، ۰/۲۵ و ۰/۳۵ روی نتایج بحث می‌شود که اول روی اشباع سیال متمرکز می‌شوند؛ با توجه به شکل‌های ۱۱ و ۱۲ ملاحظه می‌شود که با کاهش میزان تخلخل سنگ، پیش روی سیال به سمت چاههای برداشت بیشتر شده و عملیات برداشت نفت در زمان معینی به صورت بهینه انجام می‌شود. برای توضیح بیشتر با توجه به کانتورهای شکل ۱۲ (مربوط به



شکل ۱۲- کانتورهای اشباع آب بعد از گذشت ۷۰۰ روز از برداشت، با ضرایب تخلخل (الف) $\phi = 0.15$ (ب) $\phi = 0.25$ (ج) $\phi = 0.35$

۸- نتیجه‌گیری

در این مقاله توزیع فشار و اشباع آب در درون مخزن طی مدت زمان معینی شبیه‌سازی شد و میزان تولید چاهها به همراه تأثیر پارامترهای تراوایی و تخلخل و مانع نفتی درون مخزن با حل عددی بررسی شدند. روش حل عددی بر مبنای فشار ضمنی - اشباع صریح یا همان روش ایمپز بود. هندسه مورد مطالعه هم، برگرفته از شکل مخازن در صنعت هست. نتایج کلی حاصل از حل عددی با استفاده از نرم‌افزار تجاری نفتی CMG [۱۶] اعتبارسنجی شدند که صحت کارهای انجام شده را تأیید می‌کند. نرم‌افزارهای سیالاتی مثل CFX و Fluent قادر به شبیه‌سازی دقیق مسایل جریان چندفازی در محیط متخلخل نیستند برای همین از نرم‌افزار CMG استفاده شد. این نرم‌افزار هم، قادر به نمایش جزئیات نتایج از جمله بررسی پارامتر موانع زیرزمینی، بررسی توزیع فشار مخزن در فاصله چاه تزیقی و چاههای تولیدی و ... نمی‌باشد و صرفاً برای اعتبارسنجی نتایج کلی مساله مورد استفاده قرار گرفته است به همین خاطر با حل عددی و با روش IMPES به تشریح دقیق مساله پرداخته شد.

نتایج بدست آمده عبارتند از:

با توجه به کانتورهای فشار مقدار حداقل فشار هیدروستاتیکی محاسبه شده مخزن از مقدار مربوط به فشار ته چاهی بیشتر هست که این اختلاف فشار در واقع شرط لازم برای تولید نفت از چاههای برداشت را ارضا می‌کند و با استمرار برداشت تقریباً فشار ثابتی بر مخزن حاکم هست.

در صورتی که نفت در مسیر حرکت خود به هیچ مانعی برخورد نکند به سطح زمین راه خواهد یافت و در اینصورت مواد سبک آن تبخیر شده و مواد سنگین آن همچون قیر در سطح زمین باقی می‌ماند. بنابراین نبود پوش‌سنگ مناسب منجر به فرار نفت از سنگ مخزن و عدم تجمع آن می‌شود. در مساله پیش رو اثر یک مانع زیرزمینی مخزن به طول ۳۶۰ متر، در سه مکان، مرکز مخزن، ۱۲۰ متری و ۲۴۰ متری از مرکز مخزن بررسی می‌شود. ابتدا اثرات این مانع را روی کانتور فشار، به عنوان نمونه مربوط به روز ۴۰۰ ام عملیات برداشت مورد بررسی قرار داده می‌شود. هرچه مانع نفتی متمایل به سمت چاه تزیقی باشد مطابق شکل ۱۳، فشار چاه تزیقی بالا می‌رود یا به عبارت دیگر به فشار بیشتری برای روانه ساختن و سوق دادن نفت به سمت چاههای تولیدی نیاز خواهد بود. و این خود، صرف انرژی و توان بیشتر تاسیسات جایگاههای نفتی را می‌طلبد. بنابراین انتخاب دقیق‌ترین و مناسب‌ترین مکان برای حفر چاههای برداشت و تزریق مخازن نفتی به مراتب توسعه متخصصین در این حوزه احساس می‌شود. در واقع اولین گام برای برداشت از هر مخزن نفت و گاز، حفر چاههای جدید است. انتخاب مکان چاه طوری که بهترین نتیجه را ممکن سازد، همواره مورد پرسش محققان بوده است. استفاده از روش‌های سنتی برای بهینه‌سازی مکان چاه به علت پیچیدگی‌های معادلات حاکم بر مخزن، دشوار و در مواردی غیر ممکن است. با کاهش ذخایر زیرزمینی، شرکت‌های نفتی به سمت تولید صیانتی از مخازن متمایل شده‌اند. تولید صیانتی، اغلب ناظر بر روش‌های ازدیاد برداشت به منظور افزایش ضریب بازیافت نفت درمخزن است همچنین با استفاده از الگوریتم و راثتی، مکان بهینه چاه های جدید در مخزن به منظور افزایش ضریب بازیافت نفت بررسی می‌شود.

شکل ۱۴ نمودار مربوط به دبی تولیدی نفت از مخزن با توجه به فواصل مختلف مانع نفتی را نشان می‌دهد. بدیهی است با توجه به این شکل که مانع در نیمه چپی مخزن مشاهده می‌شود با نزدیک برداشت طرف راست مخزن باشد. همچنین مشاهده می‌شود با نزدیک شدن مانع به سمت چاه تزیقی این اختلاف دبی تولیدی بین چاههای دو نیمه چپ و راست مخزن، بیشتر هم می‌شود. بنابراین در تعیین موقعیت مناسب چاههای برداشت و تزریق باید نهایت ابتکار و دقت به عمل آید.

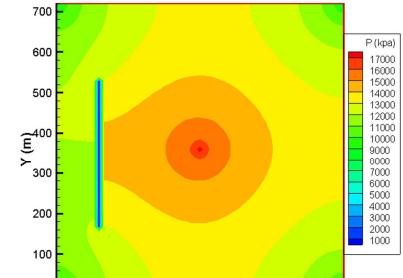
تأمین اختلاف فشار چاه تولیدی و فشار ته چاهی راحت‌تر بوده و به توان مصرفی کمتر تاسیسات نیاز خواهد بود.

تأثیر تخلخل سنگ مخزن روی اشباع سیالات: به طور کلی آب در محیط‌های با تخلخل کمتر (در مقیاس میکروسکوپی) اشباع بالای را تشکیل می‌دهد که این اصل با نمایش کانتورهای اشباع سیالات نشان داده شد. بدین صورت که با کاهش میزان تخلخل سنگ، اشباع آب و پیشوای آن، نفت به سمت این چاهها رانده شده و عملیات برداشت نفت در زمان معینی به صورت بهینه انجام می‌گیرد. میزان و توزیع اشباع سیالات مخزن ارتباطی با تراوایی سنگ مخزن ندارند.

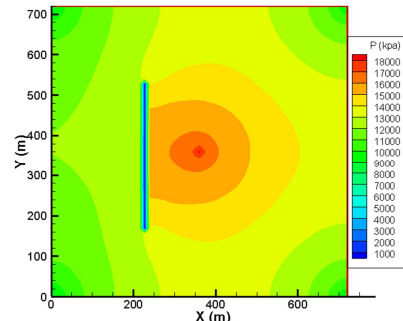
اثرات مانع (تله نفتی) درون مخزن: مانع نفتی در واقع سنگ‌های با تراوایی خیلی کم و نزدیک به صفر هستند که امکان عبور سیالات مخزن از لابه‌لای محیط متخلخل آن وجود ندارد. هرچه مانع نفتی نزدیک مرکز مخزن باشد، فشار چاه تزریقی بالا می‌رود و این خود، صرف انرژی و توان بیشتر تاسیسات جایگاه‌های نفتی را می‌طلبد. با نزدیک شدن مانع نفتی به سمت چاه تزریقی اختلاف دبی تولیدی بین چاههای دو نیمه مخزن، بیشتر می‌شود. بنابراین برای تعیین موقعیت مناسب چاهها به لحاظ میزان تولید نفت یا گاز، پیشنهاد می‌شود چاههای تزریقی در نواحی با تراوایی بالا و به دور از نواحی با مانع نفتی حفاری گرددند.

۹- نمادها

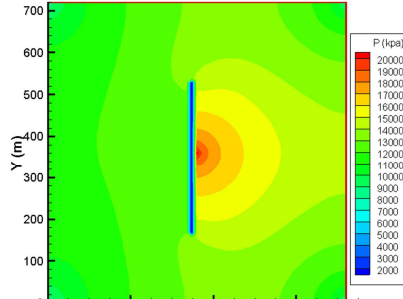
تراوایی نسبی نفت در مخزن (md)	K_{ro}
تراوایی نسبی آب در مخزن (md)	K_{rw}
میزان تراوایی مخزن در جهت افق (md)	K_x
میزان تراوایی مخزن در جهت قائم (md)	K_y
فشار مویینگی آب و نفت (kpa)	P_{cow}
فشار اولیه مخزن (kpa)	P_{int}
فشار مرجع (kpa)	P_0
فشار ته چاهی (kpa)	P_{wf}
دبی آب تزریقی (m^3)	Q_{inj}
دبی نفت تولیدی (m^3)	Q_o
دبی آب تولیدی (m^3)	Q_w
شعاع چاههای تزریقی و برداشت (m)	r_w
اشباع نفت	S_o
اشباع باقیماند نفت	S_{or}
اشباع آب	S_w
اشباع بحرانی آب	S_{wc}
اشباع اولیه آب مخزن	S_{wint}
ضریب جابه جایی در جهت افق	T_x
ضریب جابه جایی در جهت قائم	T_y
حجم یک سلوول مربوط به شبکه (m^3)	V_b
چگالی اولیه آب (kg/m^3)	ρ_w^o
چگالی اولیه نفت (kg/m^3)	ρ_o^o
لزجت آب (kpa.day)	μ_w



(الف)

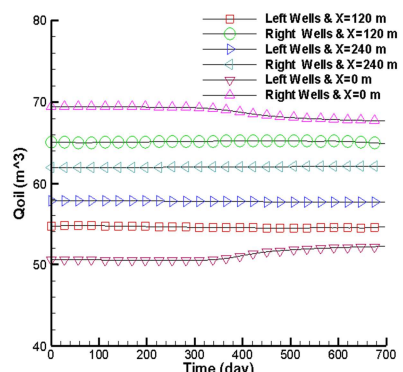


(ب)



(ج)

شکل ۱۳- نمایش کانتور فشار با مانع نفتی در مکان‌های (الف) ۲۴۰ متری از مرکز (ب) ۱۲۰ متری از مرکز (ج) واقع در مرکز مخزن.



شکل ۱۴- دبی تولیدی نفت در چاههای برداشت نیمه چپ و راست مخزن با حضور مانع نفتی در مکان‌های مختلفی از مرکز مخزن

تأثیر تراوایی سنگ مخزن روی فشار: برای مخازن با تراوایی بالا فشار هیدروستاتیکی مخزن به مراتب کمتر است. با توجه به خصوصیات سنگ و سیال مخزن، هرچه میزان تراوایی مخزن بالا باشد

$$\mu_0 \\ \varphi^0$$

۱۰- مراجع

- [1] Kovscek A. R., Cakici M. D., Geologic storage of carbon dioxide and enhanced oil recovery. II. Cooptimization of storage and recovery, *Energy Conversion and Management* 46.11, 1941-1956, 2005.
- [2] Adams D. M., Experiences with waterflooding Lloydminster heavy-oil reservoirs. *Journal of Petroleum Technology* 34.08, 1-643, 1982.
- [3] Fay, C.H. and Prats. M.: "The Application of Numerical Methods to Cycling and Flooding Problems, Proceedings of the 3rdWorld Petroleum Congress 1951.
- [4] Marco R., Thiele, StreamSim Technologies, Inc. Streamline Simulation. InternationalForum on Reservoir Simulation September 3rd-7th Schloss Fuschl,Austria (2001).
- [5] Li, Baoyan, Zhangxin Chen, and Guanren Huan. Comparison of solution schemes for black oil reservoir simulations with unstructured grids. *Computer methods in applied mechanics and engineering* 193. 3, 319-355, 2004.
- [6] Kovscek A. R. and Wang Y., Geologic storage of carbon dioxide and enhanced oil recovery. I. Uncertainty quantification employing a streamline based proxy for reservoir flow simulation, *Energy Conversion and Management* 46.11, 1920-1940, 2005.
- [7] Savioli Gabriela B. and M., Susana Bidner. "Simulation of the oil and gas flow toward a well—A stability analysis, *Journal of Petroleum Science and Engineering* 48.1, 53-69, 2005.
- [8] Matringe Sébastien F., Ruben Juanes, and Hamdi A. Tchelepi., Robust streamline tracing for the simulation of porous media flow on general triangular and quadrilateral grids, *Journal of Computational Physics* 219.2, 992-1012, 2006.
- [9] Jian, H. O. U., et al. A streamline-based predictive model for enhanced-oil-recovery potentiality, *Journal of Hydrodynamics, Ser. B* 20.3, 314-322, 2008.
- [10] Kou Jisheng and Shuyu Sun., A new treatment of capillarity to improve the stability of IMPES two-phase flow formulation, *Computers & Fluids* 39.10, 1923-1931, 2010.
- [11] LUO, Wan-jing, et al. A streamline approach for identification of the flowing and stagnant zones for five-spot well patterns in low permeability reservoirs, *Journal of Hydrodynamics, Ser. B* 25.5, 710-717, 2013.
- [12] Siavashi Majid, et al., Three-dimensional streamline-based simulation of non-isothermal two-phase flow in heterogeneous porous media., *Computers & Fluids* 103, 116-131., 2014.
- [13] van der Linden, J. H., et al. "The parallel subdomain-levelset deflation method in reservoir simulation., *Journal of Computational Physics* 304, 340-358, 2016.
- [14] Chen, Zhangxin. Reservoir simulation: mathematical techniques in oil recovery. Vol. 77., pp. 8-10, and 13-17, and 73-74, and 91-102, 2007.
- [۱۵] کامران مصلح، فرید دهقانی، محمدرضا الزامی، رضا میرزا ابراهیمی. «فصل دوم: تزریق گاز به میدان نفتی» در استفاده بهینه از منابع گازی در ایران. موسسه مدیریت انرژی افق. ویرایش فیپا. چاپ اول. ۱۳۸۷.
- [16] CMG (Computer Modelling Group) 2006.10 Software.